

酸化리튬의 置換에 따른 硼珪酸 유리의 分相에 關한 研究

梁 重 植

慶熙大學校 化工科

(1981年 1月22日 接受)

The Phase Separation of Low Alkali Borosilicate Glass by Substituting Li_2O for Na_2O

Joong-Sik Yang

Dept. of Chem. Eng., Kyung Hee Univ.

(Received Jan. 22, 1981)

ABSTRACT

The phase separation of low-alkali borosilicate glass with the composition of $6.25\text{Na}_2\text{O} \cdot 18.75\text{B}_2\text{O}_3 \cdot 75.00\text{SiO}_2$ (mole%) substituting Li_2O for Na_2O was studied.

The phase separation in the temperature range of transformation was examined with various heating temperatures and soaking times.

Durability to water, thermal expansion and specific density of the specimen were investigated and the microstructure of the separated phase was also observed by transmission electron micrograph techniques. The maximum alkali extraction result with the best phase separation effect was obtained when Na_2O of the base glass was replaced with $1.88\text{Li}_2\text{O}$ (mole %) and electron micrograph of carbon film replica of $1.88\text{Li}_2\text{O} \cdot 4.37\text{Na}_2\text{O} \cdot 18.75\text{B}_2\text{O}_3 \cdot 75.00\text{SiO}_2$ (mole %) glass showed that the glass consisted of homogeneous two phases.

The minimum specific density was shown with the specimen treated at 570°C and it was also shown that the longer the treating time the lower the specific density.

The apparent activation energies of approximately 45 kcal/mole by the alkali extraction and 43 kcal/mole by the thermal expansion method were derived from the Arrhenius plots, respectively.

1. 緒 論

特定組成範圍의 低알칼리 硼珪酸유리를 轉移溫度領域에서 熱處理를 하게 되면 造成變化가 일어나서 高珪酸 質相과 易溶性인 硼酸소오다相으로 相分離가 일어나 不均質相의 유리가 된다¹⁻⁴⁾. 두 유리相으로 分離된 不均質유리를 酸 또는 물로 Na_2O 나 B_2O_3 등을 溶出除去시키므로서 結果적으로 SiO_2 98% 이상의 高珪酸質骨格의 多孔性유리를 容易하게 얻을 수 있다⁵⁾. 이 多孔性유리를 高溫에서 加熱하면 體積의 收縮이 일어나 無孔인 透明유리를 얻는다. 이와 같이 製造된 유리는 石

英유리와 類似하여 英石유리와 같은 用途에 쓰인다¹⁻⁴⁾.

유리의 分相現象에 對한 研究로 Hood,^{3,4)} Molschanova⁶⁾는 分相領域에 關하여 Damura⁷⁾는 熱的性質과 Al_2O_3 의 分相抑制效果 및 鹽基性成分(R_2O , RO)의 添加에 따른 影響 등에 關해서 發表하였고, Galakhov, Alekseeva⁸⁾ 등은 $\text{Na}_2\text{O}-\text{B}_2\text{O}_3-\text{SiO}_2$ 系 유리와의 $\text{Li}_2\text{O}-\text{B}_2\text{O}_3-\text{SiO}_2$ 系 유리와의 不混和溫度 및 $\text{B}_2\text{O}_3/\text{R}_2\text{O}$ 비에 따른 混和溫度와의 關係 등에 對하여 發表하였다. Moriya^{9,10)}는 異種成分의 添加가 알칼리-珪酸鹽유리에 미치는 影響을 電子顯微鏡의 觀察結果로부터 分離相 모양과 體積分率의 理論的解析, 分離相의 生成과 成長原理, 混和

溫도의變化 및 混和엔탈피 등을 推論하고 있다. 또한 우리나라에서도 低알칼리-硼硅酸유리에 對하여 P_2O_5 添加가 分相에 미치는 影響을 朴¹¹⁾ 이 發表하였다. 以上の 文獻에서 對象으로 하는 內容은 大部分 二成分系에 對하여 網目形成 및 修飾酸化物 등의 添加가 分相에 미치는 影響에 對한 研究와 $SiO_2-B_2O_3-Na_2O$ 系인 3成分系에 對하여 各種의 酸化物를 添加하였을 때의 分相現象에 對하여 研究한 것이다.

筆者는 Moriya 와 Obara^{10,12)} 등의 研究結果를 參考하여 $SiO_2-B_2O_3-Na_2O$ 의 3成分系 유리에 있어 Na_2O 의 一部를 Li_2O 로 置換하면 分相性유리에 對한 混和溫度 및 spinodal 률을 높일 수가 있고 液體狀態일 때는 粘度가 低下될 뿐 아니라 Na^+ 보다 이온반지름이 작은 Li^+ 로 置換되었기 때문에 結局 分相過程에서 高硅酸質相의 體積分率이 增加되어 安定한 SiO_2 의 骨格을 引을 수 있을 것이고, 따라서 同一濃度の 알칼리량이라 할 지라도 分相傾向이 커질 것으로 推하여, 본 研究에서는 $SiO_2-B_2O_3-Na_2O$ 系 유리의 修飾酸化物인 Na_2O 를 Li_2O 로 置換하여 인은 $SiO_2-B_2O_3-Na_2O-Li_2O$ 系 유리中 分相性이 가장 優秀한 유리를 選定하여 이에 對한 溫度 및 熱處理에 따른 分相效果와 分相進行에 따른 熱力學의 特性 등을 究明하였다.

2. 實驗 및 結果

2.1 組成範圍의 背景

Hood 와 Nordberg 등의 研究^{3,4,6)}에서 追求한 合理的인 組成範圍를 Fig. 1 에 表示하였다. 曲線 X와 Y 사이의 組成領域은 轉移點以上の 溫度로 熱處理하면 溶出 可能한 $Na_2O-B_2O_3$ 相이 分離될 수 있는 部分이다. 基本유리의 選定에는 Moriya,^{9,10)} Hood 및 Nordberg,⁴⁾ Eguchi,¹³⁾ 朴¹¹⁾ 등의 文獻에서 얻어진 研究背景을 參酌하여 Fig. 1 에서 X와 Y曲線 사이의 實用性이 있고 分相過程을 檢討할 수 있는 ◎點의 組成을 擇하였다.

2.2 Batch 調合 및 試料製作

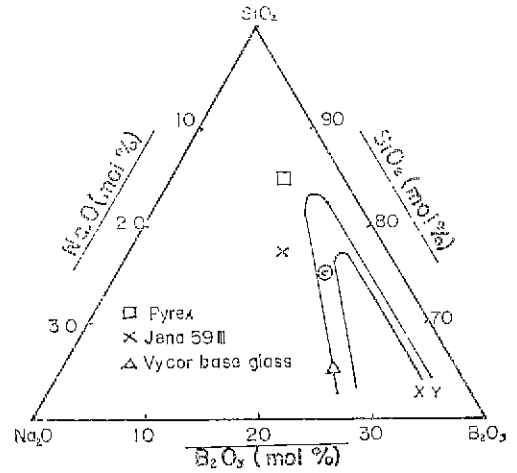


Fig. 1 Composition region suitable for production of Vycor glass and the range of separation of borosilicate glasses.

◎點을 組成으로한 Li_2O 置換유리의 組成은 Table 1 과 같다. 이데 Na_2O-Li_2O 의 置換量의 系統的인 差는 任意로 0.62~0.63mole(%) 範圍로 取하였다. 이데 사용한 $SiO_2, H_3BO_3, Na_2B_4O_7 \cdot 10H_2O, Li_2CO_3, Na_2CO_3$ 日本 Wako 社의 1級試藥을 써서 유리組成이 Table 1 이 되도록 調合하였다. 이를 充分히 混合한 다음 水分 6~8% 를 散布하여 塊狀으로 만들었다. 熔融도가니는 燒結알루미나(日本化學陶器, SSH: 280m²)를 사용, 調合物을 넣기 前에 프로판가스가마에서 1,500~1,550 °C 豫熱한 後 熔融유리가 約 400 g 되게끔 위 batch의 塊狀을 3회로 分割하여 裝入하였다. 熔融이 끝났을 때 白金被覆한 耐火棒으로 攪拌하여 均質化시키고 清澄을 끝낸 다음 融液을 試驗種類에 따라 適當한 狀態로 水中 또는 空氣中에서 急冷, 固化시켰다. 水冷한 유리는 알코올로 洗滌하고 乾燥한 後 desiccator 에 保管, 이를

Table 1 Glass compositions

| Sample NO. | Mole(%) | | | | Wt. (%) | | | |
|------------|------------------|-------------------------------|-------------------|-------------------|------------------|-------------------------------|-------------------|-------------------|
| | SiO ₂ | B ₂ O ₃ | Na ₂ O | Li ₂ O | SiO ₂ | B ₂ O ₃ | Na ₂ O | Li ₂ O |
| ◎ | 75.00 | 18.75 | 6.25 | — | 72.67 | 21.07 | 6.25 | — |
| 1 | 75.00 | 18.75 | 5.00 | 1.25 | 73.17 | 21.19 | 5.03 | 0.61 |
| 2 | 75.00 | 18.75 | 4.37 | 1.88 | 73.41 | 21.26 | 4.42 | 0.91 |
| 3 | 75.00 | 18.75 | 3.75 | 2.50 | 73.65 | 21.33 | 3.80 | 1.22 |
| 4 | 75.00 | 18.75 | 3.13 | 3.12 | 73.89 | 21.40 | 3.18 | 1.53 |
| 5 | 75.00 | 18.75 | 2.50 | 3.75 | 74.14 | 21.47 | 2.55 | 1.84 |

一次試料로 하였다. 유리의 成分變化와 不純物의 含量을 檢討하기 위하여 熔融한 유리를 分析하였다. 이때 Al_2O_3 와 알칼리 土類化合物(RO)의 含量은 各各 0.02% 以下였으며 이 程度의 量으로는 分相에 對해 別 影響을 미치지 않을 것으로 보아 試片製作用으로 使用하였다⁷⁾. 알칼리 溶出量測定用 試料은 一次試料을 粉碎, 체가름하여 0.25~0.40 mm 粒子를 取하였다¹²⁾. 線膨脹, 透過率, 密度 및 顯微鏡用의 試片은 一次試料을 約 12 mesh 로 粉碎, 체가름하고 이를 白金도가니에 옮겨 다시 電氣가마에서 1,350~1,400 °C 로 2次熔融 및 澄清을 마친 다음 鑄鐵型틀에서 鑄成成形 또는 일정 크기의塊狀을 만들었다. 이때 成形物은 空氣로 急冷하였다. 電子顯微鏡觀察에 使用한 film 狀 試片과 透過率測定用板狀試片은 모두 表面研磨하여 製作하였다.

2.3 試料 選定

分相性이 가장 優秀한 試料을 選定하기 위하여 急冷試料과 徐冷試料에 對해 알칼리 溶出量을 比較測定하기로 하였다. 急冷試料은 2.2의 것을 썼으며, 徐冷試料은 急冷試料을 550 °C 의 溫度에서 2時間 加熱하여 400 °C 까지 10°C/min. 로 冷却한 것을 썼다. 試料을 各各 2.2g 取하고, 알칼리 溶出 測定試驗方法¹⁴⁾에 따라 溶出量을 0.01 N H_2SO_4 로 適定하여 그 結果를 Fig. 2 에 圖示하였다.

Fig. 2에서 알 수 있는 바와같이 低알칼리-硼硅酸유리일 때 徐冷유리가 急冷유리보다 알칼리 溶出量이 크게 나타나고 있다.

또 Na_2O 를 Li_2O 로 置換한 유리가 같은 製造條件下에서 얻은 基本유리보다 알칼리 溶出量이 많이 나타남은 分相이 보다 많이 進行되었음을 뜻하는 것으로 推

定된다. 特히 試料中 1.88 mole % 의 Na_2O 를 Li_2O 로 置換한 試料 No. 2가 알칼리 溶出量이 가장 많았으며, 急冷試料과 徐冷試料의 알칼리 溶出差도 가장 컸으므로 分相이 가장 效果의으로 이루어진 것이라고 생각할 수 있다. 以上の 試驗結果에서 가장 分相性이 優秀한 試料은 Na_2O 를 1.88 mole % Li_2O 로 置換한 No. 2 이므로 앞으로의 實驗에서는 本試料에 對하여 檢討였다.

2.4 熱力學的 資料 算出

2.4.1 알칼리 溶出量 測定

試料 No. 2를 轉移溫度範圍에서 溫度와 維持時間別로 熱處理한 것의 알칼리 溶出量¹⁴⁾ 測定結果는 Fig. 3과 같다.

또한 各 熱處理에서 平衡에 到達할 때까지의 알칼리 溶出量 結果를 Table 2에 表示하였다.

따라서 Table 2와 Fig. 3으로부터 알칼리 溶出速度式을 求할 수가 있다.

即 0.01 N H_2SO_4 溶液의 消費量(ml)은 유리의 分相量과 比例하고, 또 時間變化에 따른 알칼리 溶出量은 熱處理溫度에서의 알칼리 溶출을 덴 값에 該當케 된다.

한편 Fig. 3의 測定值를 semi-log 로 나타내기 위하여 $\ln a/(a-x)$ 와 熱處理時間 t 와의 關係를 軸으로 하여 나타낸 時間에 따른 알칼리 溶出速度 ($\frac{dx}{dt}$)는 朴¹¹⁾, Eguchi¹³⁾, Mori¹⁹⁾ 등의 報告와 같은 式을 設定할 수 있다.

$$\text{即 } \frac{dx}{dt} = Ka(a-x), \quad 2.303 \log \frac{a}{a-x} = Ka \cdot t$$

Ka : 所定 熱處理溫度에서의 알칼리 溶出恒數

a : 該當 溫度處理에서 0.01 N H_2SO_4 溶液 最大消費量 (ml)

X : 熱處理時間에 있어서의 0.01 N H_2SO_4 溶液의 消費量 (ml)

以上の 關係에서 Fig. 4와 같은 直線關係가 얻어졌으

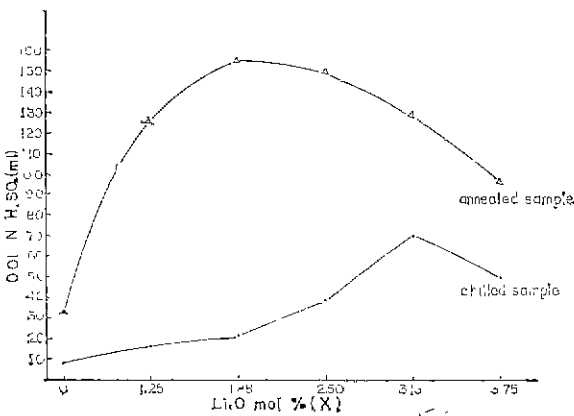


Fig. 2 0.01N H_2SO_4 required to neutralize the alkali, extracted from (6.25-X) $Na_2O \cdot XLi_2O \cdot 18.75B_2O_3 \cdot 75.00 SiO_2$ glasses.

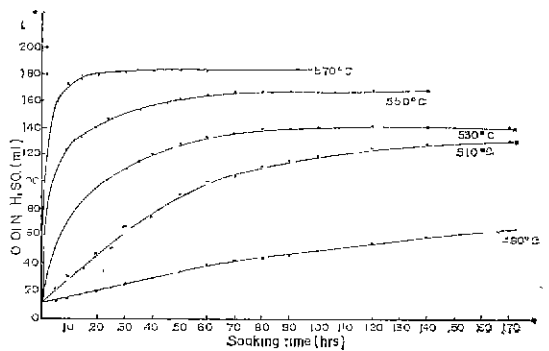


Fig. 3 Soaking time at each temperature VS. alkali solubility.

Table 2 0.01N H₂SO₄ require to neutralize the alkali extractes from heat treated sample No. 2

| | | | | | |
|---|---------|---------|---------|---------|--------|
| Heating temperature(°C) | 490 | 510 | 530 | 550 | 570 |
| Soaking time (hr.) | 250~300 | 250~300 | 150~200 | 100~200 | 50~100 |
| 0.01N H ₂ SO ₄ (ml/g) | 72.1 | 134 | 143.6 | 168.1 | 182.9 |

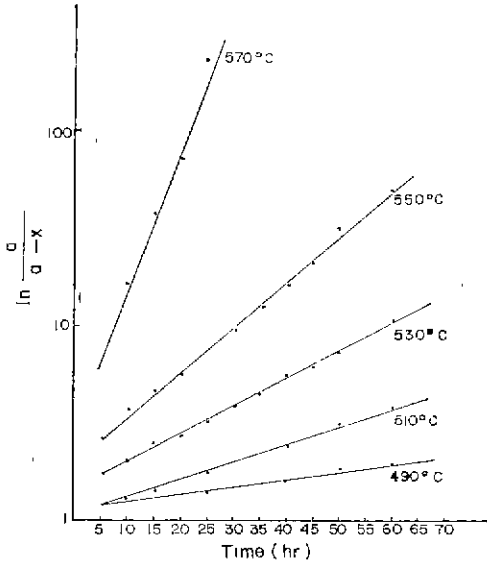


Fig. 4 Relation between $\ln \frac{a}{a-x}$ and time.

므로 Fig. 4로부터 各 溫度에서의 速度恒數 Ka 를 求하고 이 Ka 와 $\frac{1}{T}$ 과의 關係를 semi-log로 圖示하면 Fig. 5와 같다.

이 그림에 따르면 $\ln Ka$ 와 $\frac{1}{T}$ 은 서로 反比例하고 있으며 490~570°C 範圍內에서는 Arrhenius 式인 $Ka = Ae^{-\frac{E}{RT}}$ 가 成立될 수 있다.

이 關係式으로부터 알칼리 溶出量에 따른 分相過程의 絶보기 活性化에너지는 約 45kcal/mol로 計算된다.

2.4.2 熱膨脹

試料 No. 2를 轉移溫度範圍의 各溫度別로 熱處理하였을 때의 維持時間에 對한 線膨脹의 變化로부터 分相速度를 求하기로 하였다. 熱膨脹은 連續自動記錄裝置가 附設된 壓棒式 測定器로 朴¹¹⁾ 및 Eguchi¹³⁾ 등의 方法에 따라 測定하였다. 이때 510°C, 530°C, 550°C, 570°C의 各溫度로 到達하였을 時 時間에 따른 變化量을 Fig. 6에 圖示하였다. 또한 各溫度에서 平衡에 到達할 時까지의 膨脹測定結果를 Table 3에 表示하였다.

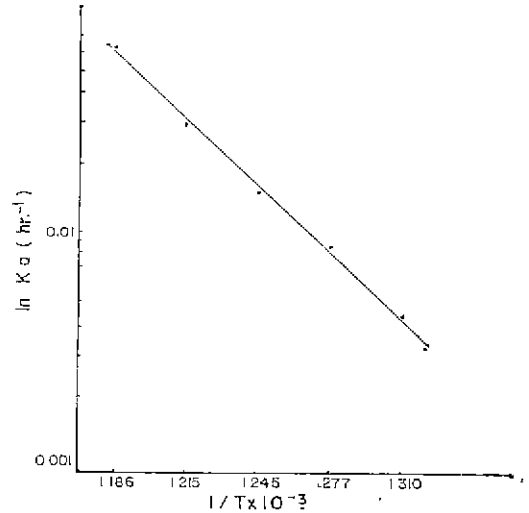


Fig. 5 Relation between $\ln Ka$ and $1/T$.

Table 3 Linea expansion at equilibrium state

| | | | | |
|--------------------------|-----|-----|-----|-----|
| Treating temperature(°C) | 510 | 530 | 550 | 570 |
| Linear expansion (mμ/cm) | 80 | 390 | 600 | 740 |

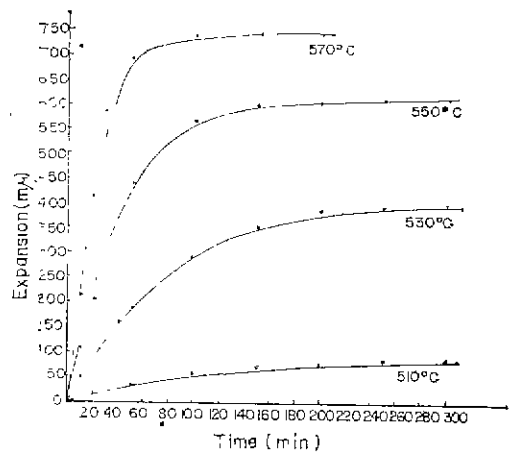


Fig. 6 Soaking time at each temperature VS. thermal expansion.

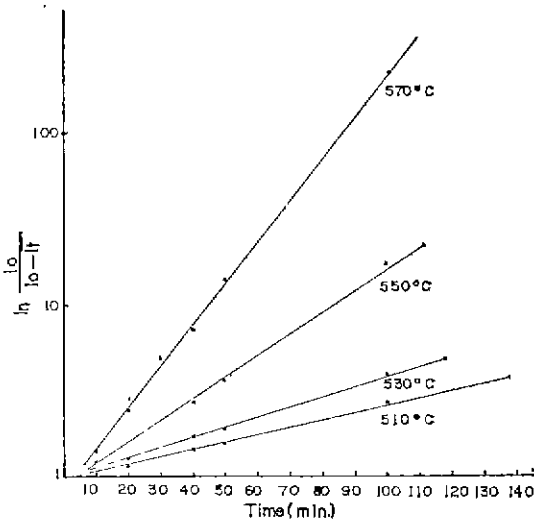


Fig. 7 Relation between $\ln \frac{I_0}{I_0 - I_t}$ and time.

以上の 實驗結果를 semi-log 로 圖示하면 Fig. 7 과 같다. 그림에서 보는 바와 같이 $\ln \frac{I_0}{I_0 - I_t}$ 와 t 의 關係는 直線의이다. 따라서 溫度別 維持時間 t 에 따른 膨脹速度는 膨脹量 I_t 로 부터 平衡狀態의 膨脹量 I_0 까지 의 量에 比例하므로 다음 式이 成立될 수 있었다.

$$\frac{dI_t}{dt} = KI(I_0 - I_t) \quad \ln \frac{I_0}{I_0 - I_t} = KI \cdot t$$

여기에서

KI : 溫度 t 에 있어서의 膨脹速度恒數

다음 Fig. 7 로 부터 各 熱處理溫度에서의 速度恒數 KI 을 計算하여 $\frac{1}{T}$ 과의 關係를 semi-log 로 表示하면 Fig. 8 과 같은 直線을 얻을 수 있다.

그러므로 朴¹¹⁾, Eguchi,¹³⁾ Mori¹⁹⁾ 등 報文에 따라 510 ~ 570°C 사이에서는 $KI = Ae^{-\frac{E}{RT}}$ 로써 나타낼 수 있을 것이다.

Arrhenius 式인 이 關係式으로부터 熱膨脹에 따른 分相過程의 결보기 活性化 에너지를 計算하면 約 45 kcal/mol 이 되는데 이 값은 앞의 2.4.1 의 알칼리溶出量으로부터 計算한 값과 거의 一致된다.

2.4.3 密度

分相유리는 熱處理에 따라 構造變化를 일으키게 되고 따라서 密度가 變하게 된다^{20, 21)}. 또한 最少密度를 나타내는 熱處理溫度에서 處理한 유리는 水溶性이 極大值를 나타내는 分相效果가 가장 큰 유리를 일게되므로 溫度 및 時間에 따른 密度의 變化를 檢討하였다. 試料를 510~590°C의 溫度에서 300~1,800 分間 處理

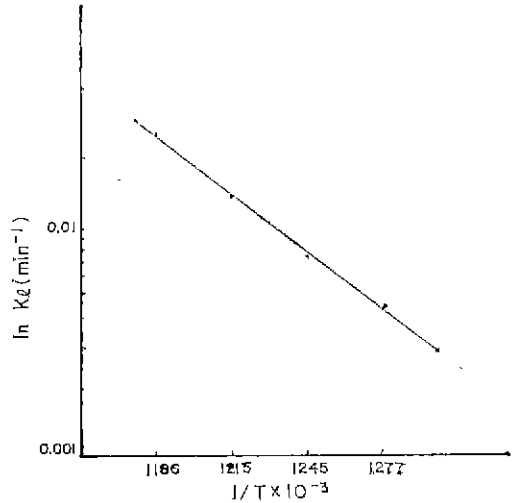


Fig. 8 Relation between $\ln KI$ and $\frac{1}{T}$.

急冷한 것을 取하여 浮沈法^{21, 22)}에 따라 測定, 그 結果를 Fig. 9 에 圖示하였다. 이때 密度는 處理溫度가 上昇할 수록 減少하여 570°C 에서 最少값을 나타내었다. 또한 一定溫度下에서 密度는 570°C 까지 熱處理時間의 增加에 따라 減少하며 그 以上の 溫度에서는 거의 一致되는 傾向을 나타내고 있다.

2.4.4 電子顯微鏡觀察

電子顯微鏡寫眞을 通하여 分離相의 直接的인 觀察을 하고자 試料를 選擇의으로 取하여 分相狀態를 比較하였다. 이때 取扱한 試料種은 試料 No. 2 를 自金薄膜板

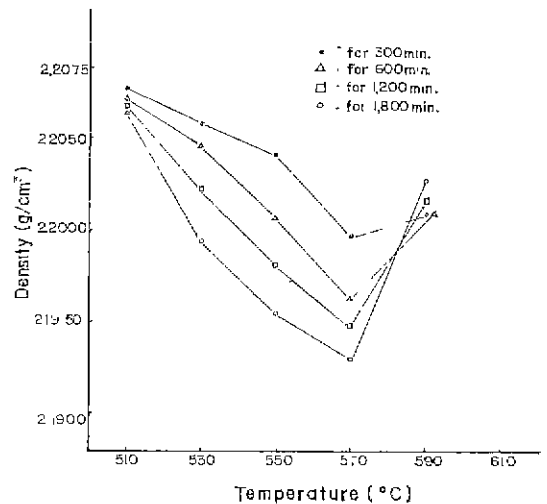


Fig. 9 Soaking time at each temperature VS. density for sample No. 2.

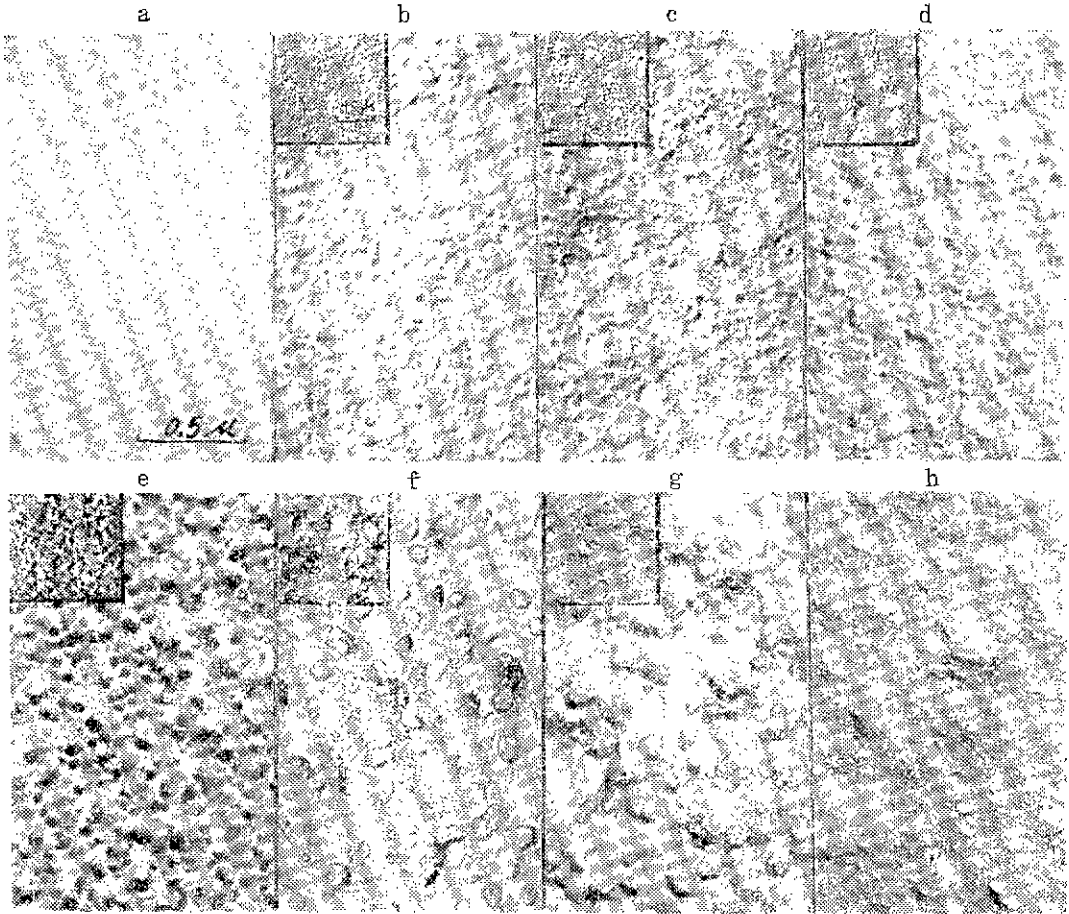


Fig. 10 Replica electromicrograph of etched samples.

- a: Rapidly quenched sample No. 2.
- b: Annealed Sample No. 1 at 550°C for 2hrs
- c: Annealed Sample No. 2 at 550°C for 2hrs.
- d: Annealed Sample No. 3 at 550°C for 2hrs.
- e: Heated Sample No. 2 at 550°C for 25hrs.
- f: Heated Sample No. 2 at 570°C for 25hrs.
- g: Heated Sample No. 2 at 590°C for 25hrs.
- h: Heated Sample No. 2 at 610°C for 25hrs.

상에 놓고 所定溫度인 950°C에서 10分間 熱處理한 다음 水冷한것, 550~610°C範圍에서 20°C 間隔으로 25時間 均等히 熱處理한 다음 300°C까지 3°C/min.로 徐冷한 것, 試料 No. 1, 2 및 3을 550°C에서 熱處理하여 徐冷한 試片들을 0.1~0.3 mm 두께의 薄板으로 만든 다음 表面을 研磨, 이를 5% HF溶液에 約 5分間 浸漬한 다음, 물, 알코올의 順으로 洗滌하고 乾燥하여 檢鏡用 replica 試片으로 떼서 replica 法에 따라 replica 를 製作하였다^{9,10}. 日立製 HS-75, 50 KV 電子顯微鏡을 使用하여 10,000 및 30,000 倍率로 檢鏡하였다. 그 結果는 Fig. 10 과 같다. 寫眞에서 나타난 바와 같이 試料 No. 2 가 가장 分相狀態가 良好하였고, 溫

度 및 維持時間에 따라 SiO₂ 相이 커지고 分相分布가 均質함을 볼 수 있었다.

2.4.5 高珪酸鹽相의 SiO₂ 含量

試料 No. 2의 高알칼리相을 溶出시키고 殘留되어 있는 高珪酸鹽유리의 分析結果는 Table 4 와 같다²⁰. 本實驗에서 分相시킨 高珪酸鹽유리의 SiO₂는 98%以上 이다.

Table 4 Chemical Composition of Acid-leached sample No. 2

| Components | SiO ₂ | Fe ₂ O ₃ | Al ₂ O ₃ | RO |
|------------|------------------|--------------------------------|--------------------------------|-------|
| Weight (%) | 98.27 | trace | 0.02 | trace |

3. 考 察

一般的으로 유리는 徐冷된 것이 急冷된 것 보다 유리의 組織이 緻密하게 되며, 보다 安定하고 緻密한 構造를 形成하기 때문에 알칼리溶出量이 적게 나타난다. 本 實驗에서 $\text{SiO}_2\text{-B}_2\text{O}_3\text{-Na}_2\text{O-Li}_2\text{O}$ 系의 유리가 $\text{SiO}_2\text{-B}_2\text{O}_3\text{-Na}_2\text{O}$ 系의 유리와 같이 徐冷유리가 急冷유리보다 알칼리 溶出量이 크게 나타나고 있으며 또한 Na_2O 를 Li_2O 로 置換한 유리가 보다 低い한 結果를 보였다. 이와 같은 相反되는 結果가 얻어지게 된 까닭은 Abe¹⁶ ~¹⁸) 報告와 같이 低알칼리-硼硅酸유리를 550 °C 附近에서 熱處理할 때에는 原子間的 再配列이 일어나 그 構造가 細密構造에서 粗大構造로 移行되면서 高硅酸質 유리의 易溶性인 低融點 유리成分相 ($\text{R}_2\text{O-B}_2\text{O}_3$)으로 分離되기 때문이라고 생각된다. Fig. 2의 알칼리溶出량을 보면 6.25 Na_2O -18.75 B_2O_3 -75.00 SiO_2 유리의 1.88 mole% Na_2O 를 Li_2O 로 置換한 試料가 알칼리溶出량이 가장 많았으므로 分相이 가장 效果的으로 이루어진 것이라고 생각할 수 있다. 이에 關한 實驗結果와 Abe,¹⁶⁻¹⁸) Moriya⁹⁻¹⁰) 등의 報告와 連關해서 생각하면 分相 效果를 다음과 같이 解析할 수 있을 것이다. Li^+ ion은 Na^+ ion 보다 ion 반지름이 작기 때문에 結局 ion化에 너지 및 電氣陰性度 등이 커서 BO_4 四面體의 모서리에 强하게 붙어 易溶性이 $\text{Li}_2\text{O-B}_2\text{O}_3$ 나 $\text{Li}_2\text{O-Na}_2\text{O-B}_2\text{O}_3$ 系 유리트 쉽게 分相될 수 있을 것으로 推理된다. 즉, BO_3 三角形은 BO_4 四面體의 形成으로 不安定하게 되고 Na^+ ion 보다 可動性이 有利한 Li^+ 에 依해서 B-O 結合이 切斷되고 Li^+ 는 깊숙한 potential hole에 들어가게 되면서 SiO_2 相과 $\text{Li}_2\text{O-Na}_2\text{O-B}_2\text{O}_3$ 相의 相溶性은 SiO_2 相과 $\text{Na}_2\text{O-B}_2\text{O}_3$ 相의 경우보다 減少되므로 알칼리溶出량은 더욱 增加되는 것이라고 생각할 수 있다. 6.25mole% Na_2O 에 對하여 1.88 mole% Li_2O 로 置換한 試料의 알칼리溶出량이 가장 많았다는 事實은 BO_4 四面體 近傍에 Li^+ ion이 가장 많이 接近할 수 있기 때문에 나타나는 現象이라고 推定된다. 한편, Li_2O 가 1.88mole% 보다 많이 置換되면 一部の Li^+ ion이 보다 쉽게 Si-O 網目構造에 依하여 包圍되어 存在한다고 보아 진다. 卽, Si-O의 結合을 이루고 있는 不安定한 部分에 Li^+ ion이 그 結合을 切斷시켜 깊숙한 SiO_4 網目構造의 potential hole 內로 들어가게 될 可能性도 있어 結局 相溶性은 增加되고 알칼리溶出량이 減少되는 傾向을 보이게 된 것이라고 생각할 수 있다. 本 實驗에서의 Li^+ ion의 分相效果는 Warren,¹⁵) Abe,^{17,18}) Moriya^{9,10}) 등의 報文內容과 그 結果가 잘 一致되고 있다. 電子顯微鏡寫眞에도 Li_2O 1.88mole% 로 置換한 試料의

分相狀態가 가장 均一하다는 것을 直接 觀察할 수 있었다. 알칼리溶出量과 熱膨脹測定에서 얻어진 實驗結果를 monograph method로 解釋하면 K_a 와 K_I 이 같지 않음을 보아 이는 Pseudofirst order rate constant임을 알 수 있다. 이들로부터 求한 分相의 결보기 活性化에너지는 各各 43, 45kcal/mol이었다. 이 값은 Mori, Eguchi¹⁹)가 $\text{Na}_2\text{O-B}_2\text{O}_3\text{-SiO}_2$ 의 3成分系유리에서 얻은 分相活性化에너지 62~63 kcal/mol 보다 작아 Li_2O 의 置換이 分相을 容易하게 할 수 있을 것으로 생각된다.

4. 結 論

6.25 Na_2O -18.75 B_2O_3 ·75.00 SiO_2 의 유리에 Na_2O 를 Li_2O 로 系統的으로 置換하여 얻은 $\text{Na}_2\text{O-Li}_2\text{O-B}_2\text{O}_3\text{-SiO}_2$ 유리의 分相效果에 對하여 本 實驗範圍에서 얻어진 結果는 다음과 같다.

- 1) 가장 效果的으로 分相이 이루어질 수 있는 置換 유리의 組成은 4.37 Na_2O -1.88 Li_2O -18.75 B_2O_3 -75.00 SiO_2 이다.
- 2) 選定된 置換유리의 分相 결보기 活性化에너지는 43~45 kcal/mol 程度이다.
- 3) 選定된 유리에 對한 密度는 熱處理溫度가 570 °C 일때 가장 작았으며,
- 4) 電子顯微鏡寫眞으로 보면 選定된 置換유리가 他種 유리에 比하여 高硅酸質相의 球狀이 均一하게 發達되어 보다 分相이 잘 이루어진 것을 直接 觀察할 수 있었다.

參 考 文 獻

- 1) H. P. Hood, M. E. Nordberg, "Glas Resists Extreme Heat and Cold," *Glass Ind.*, **10**, 269, (1939)
- 2) ibid., "Properties of Some Vycor-Brand Glasses," *J. Am. Cer. Soc.*, **27**, 299, (1944)
- 3) ibid., "Borosilicate Glass," u. s. Pat. 2,215,039 (1940)
- 4) ibid., "Method of Treating Borosilicate Glass" u. s. Pat. 2,286,275 (1942)
- 5) W. E. S. Turner, F. Winks, "The Influence of Boric Oxide on the Properties of Chemical and Heat-resisting Glasses, Part II," *J. Soc. Glass Tech.*, **10**, 102 (1926)
- 6) O. S. Molchanova, "Properties of Glasses in the Ternary System." *Stekle I Keramika*, **14**, 57 (1957)
- 7) K. K. Damura, "The Phase Separation of Borosi-

- licate Glass," G.I.R.I., OSAKA, No. 299, 15 (1953)
- 8) F. Ya. Galakhov, O.S. Alekseeva, "Regions of Metastable Phase Separation in Ternary Alkaliborosilicate System," *The Structure of Glass*, 8, 80 (1973)
- 9) Yoshiro Moriya, "Effects of Components Except the Alkalies on the Phase Separation of Alkali Silicate Glasses." G.I.R.I., OSAKA, No. 339, 1 (1971)
- 10) *ibid.*, *ibid.*, *J. Cer. Soc., Japan*, 78(6), 196 (1970)
- 11) Y. W. Park, "Studies on the Phase Separation of Borosilicate Glass by Addition of Phosphorus Pentoxide," *J. Kor. Cer. Soc.*, 7(3), 83(1970)
- 12) Richard A. Obara, "Effect of Minor Third Components on Metastable Immiscibility Boundaries," *J. Am. Cer. Soc.*, 56 378 (1973)
- 13) K.H. Eguchi, K.J. Tasaka, "Studies on Production and Application of High Silicate Glass," G.I. R.I. OSAKA, 16(4), 147 (1966)
- 14) KSL 2303, Glass Apparatus for Chemical Analysis
- 15) B. E. Warren, "Atomic Consideration of Immiscibility in Glass System," *J. Appl. Phys.*, 13, 602 (1942)
- 16) Tosio Abe, "The Structure of Borosilicate Glasses," *J. Cer. Soc., Japan*, 59, 474 (1951)
- 17) *ibid.*, "Borosilicate Glasses," *J. Am. Cer. Soc.*, 35, 284 (1952)
- 18) *ibid.*, "The Structure and Properties of Borosilicate Glasses." *J. Cer. Soc., Japan*, 63, 695 (1955)
- 19) Y. Mori, K.H. Eguchi, "G.I.R.I. OSAKA, 11, 108 (1960)
- 20) K.K. Damura, Y.H. Mori, "Studies on Borosilicate Glasses," *J. Cer. Soc., Japan*, 63, 685 (1955)
- 21) A.Q. Tool, "Effect of Heat-Treatment on the Density and Constitution of Highsilica Glasses of the Borosilicate Type," *J. Am. Cer. Soc.*, 31, 177 (1948)
- 22) S. Naruse, *Glass Eng*, 218, Kyoritsu Publishing Co. (1961)
- 23) KSL 2308, Chemical Analysis of Soda Lim-magnesia-silica Glass